



Trimethylamine Gas 측정을 위한 TiO_2 , Pd, Pt 및 In이 첨가된 SnO_2 가스 센서의 특성

정순분 · 전재목 · 이인선* · 이형락** · 박영호*** · 최성우**** · †이창섭

계명대학교 화학과, *계명대학교 식품가공학과, **경북대학교 물리학과,

진주국제대학교 소방방재학부, *계명대학교 에너지환경과학과

(2006년 9월 19일 접수, 2007년 3월 21일 채택)

Gas Sensing Characteristics of SnO_2 added with TiO_2 , Pd, Pt, and In for Trimethylamine Gas

Soon-Boon Jung · Jae-Mok Jun, In-Sun Lee* · Hyeong-Rag Lee** · Young-Ho Park*** ·
Sung-Woo Choi**** · †Chang-Seop Lee

Department of Chemistry Keimyung University

*Department of Food Processing Keimyung University

**Department of Physics, Kyungpook National University

***Department of Fire & Disaster Prevention Engineering, Jinjuinternational University

****Department of Environment Science Keimyung University

(Received 19 September 2006, Accepted 21 March 2007)

요 약

TiO_2 , Pd, Pt와 In을 사용하여 trimethylamine gas에 대한 감도를 향상시키는 SnO_2 가스센서에 대하여 연구하였다. 금속-SnO₂ 후막은 백금전극이 내장된 알루미나 지지체에 스크린 법으로 제작하였다. 센서의 특성은 검출가스 농도의 함수로서 반응기내 각 센서의 전기적 저항을 측정하여 조사하였으며, 100~1000 ppm 범위의 trimethylamine, dimethylamine과 암모니아가스에 대하여 측정하였다. 그 결과, 금속-SnO₂의 가스 검출특성은 종류와 양에 따라 결정되었으며, 250°C에서 trimethylamine에 대한 센서의 감도와 선택성은 1 wt% Pd와 10 wt% TiO₂를 첨가하였을 때 감도가 가장 우수한 것으로 나타났다.

Abstract – This study investigates the use of TiO_2 , Pd, Pt, and In which greatly improves a sensitivity to trimethylamine gas. The metal-SnO₂ thick films were prepared by screen-printing method onto Al_2O_3 substrates with platinum electrode. The sensing characteristics were investigated by measuring the electrical resistance of each sensor in a test box as a function of detecting gas concentration. This was then used to detect trimethylamine, dimethylamine, and ammonia vapours within the concentration range of 100-1000 ppm. The gas sensing properties of metal-SnO₂ mixed thick films depended on the content and variety of metal. It was found that sensitivity and selectivity of the films doped with 1 wt% Pd and 10 wt% TiO_2 for trimethylamin gas showed the best result at 250°C.

Key words : Gas sensor, SnO_2 , Trimethylamine

I. 서 론

근래에 음식물의 안정성 문제가 제기되면서 식품산업에서는 신선도를 측정하는 것이 중요한 문제로 대두되었다. 현재 식품산업 중에서 생선의 신선도를 측정하는 방법에는 육안으로 파악하는 방법과 생선의 ATP 분

해 시 나타나는 화학적 변화를 측정하는 방법이 있다. 이 방법들은 식품의 형태나 냄새 및 색의 변화를 바탕으로 신선도를 판단하므로 정확성이 떨어지고 시간과 여러 가지 조건이 많이 요구되며, 전문가의 기술이 필요하다. 그리하여 생선의 형태가 파괴되지 않고, 비전문가도 이를 실시간으로 검출할 수 있는 기술개발이 필요한 실정이다.

생선의 경우 신선도가 떨어질수록 trimethylamine,

*주저자:surflkm@kmu.ac.kr

dimethylamine, 암모니아 등과 같은 가스가 방출되는 데, 특히 trimethylamine gas는 생선의 신선도가 떨어질 수록 발생량이 급격히 증가한다. 따라서 Trimethylamine gas의 발생량을 측정하면 생선의 신선도를 측정할 수 있다. 이때, 반도체 가스센서를 이용하면 생선의 신선도를 간접적으로 측정할 수 있는데, 이는 가스 흡착에 따른 저항의 변화에 따라 센서물질의 전도도가 변화하는 성질을 이용하는 것이다. 이러한 반도체형 가스센서의 재료로는 SnO_2 , ZnO , TiO_2 등이 널리 사용되고 있다.

본 연구에서는 SnO_2 를 주 물질로 하고, 순수 SnO_2 에 전기적 특성의 안정화를 위해 금속 산화물인 TiO_2 를 첨가하고, 선택성과 감도를 증대하기 위해 촉매금속인 Pd, Pt, In 등을 일정 무게비로 첨가하여 만들어진 센서 물질을 스크린 법으로 후막을 형성하였다. 이 후막을 가지고, 동작온도와 가스농도에 따른 감도와 선택성을 조사하였다.

II. 실 험

2.1. 시약 및 재료

기본물질인 순수 SnO_2 (Aldrich, 99.9%) 분말에 금속 산화물과 촉매금속을 함침법으로 첨가하였다. 함침법은 촉매금속을 일정한 무게비가 되도록 평량하여 비이커에 넣고, 염산을 첨가하여 촉매금속을 완전히 녹인 후 중류수를 첨가하여 균일용액을 만들었다. 금속 산화물 첨가실험으로부터 얻어진 SnO_2 를 담그어서 금속 촉매 염을 함침시킨 후 자기교반기로 교반하면서 서서히 가열하여 제조하였다. 이를 600°C에서 2시간 하소 후 분

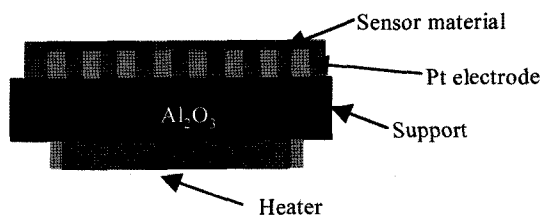


Fig. 1. Structure of the gas sensor.

쇄하여 센서물질을 얻었다. 센서물질의 성분과 비는 Table 1에 나타내었다.

2.2. 가스센서 제작

후막은 제조된 센서물질로 제작하였다. 제작과정은 감자막인 센서물질을 후막으로 형성하는 부분과 전극 및 히터를 형성하는 부분이 있다. 감자막 전극과 히터가 내장된 8.08 mm × 10 mm × 0.68 mm의 Al_2O_3 기판을 지지체로 사용하였다. 첨가물을 변화시켜 제조된 각각의 센서물질 분말에 대하여 분말무게의 10 wt%가 되도록 유기물인 ethylene glycol과 중류수 20 wt%를 첨가하여 paste 상태로 만들어 Pt 전극이 형성된 Al_2O_3 기판 위에 스크린 법으로 후막을 형성하였다. 형성된 후막은 110°C에서 24시간 동안 건조 후 600°C에서 2시간 동안 열처리하였다. Fig. 1은 후막 가스센서의 단면도이다.

이렇게 제작된 가스센서를 지름 10 mm인 1.5 l 용량의 용기에 높이 40 mm 위치에 고정시킨 후 히터에 전류를 흘려 센서의 측정온도를 조절하였다. 용기 내에 감지 가스를 주입하고, 팬을 동작시킨 후 평형농도에 도달될 때 일렉트로미터로 저항변화를 측정하였다. 센

Table 1. Dopants and weight ratio of sensor material.

A material	Metal oxide	Metal catalyst		
		Pd	Pt	In
SnO ₂	TiO ₂	0	0	0
100	0	0	0	0
99	1	0	0	0
99	0	1	0	0
99	0	0	1	0
99	0	1	0	1
95	5	0	0	0
90	10	0	0	0
90	10	1	0	0
90	10	0	1	0
90	10	0	0	1

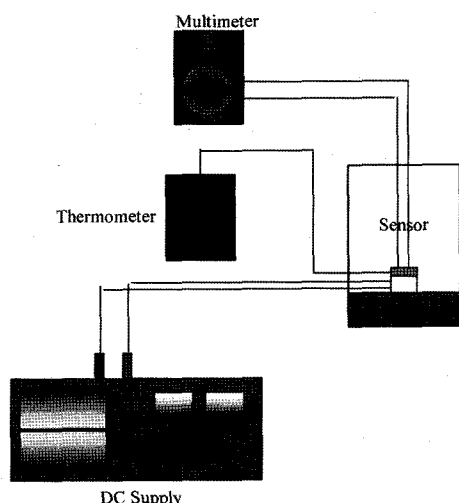


Fig. 2. Experimental set-up used for gas-sensing experiments.

서의 감도는 공기 중에서의 가스 저항에 대한 가스의 유입에 따라 변화된 저항의 비를 의미하며, 다음 식으로 정의하였다.

$$S = Ra/Rg$$

Ra 는 가스 주입 전의 저항이고, Rg 는 가스 주입 후 저항이다. 일반적으로 S 값이 클수록 센서의 감도가 우수한 것을 의미한다.

Fig. 2는 본 실험에서 사용한 가스 측정 장치이다.

III. 결과 및 고찰

반도체 가스센서는 온도에 따라 저항이 변화한다. 따라서 흡착에 필요한 에너지를 얻기 위해 동작온도가 다르게 나타나는 것을 알 수 있다. 특히, trimethylamine gas의 감도와 선택성은 낮은 온도에서 센서물질에 따라 다르므로 반도체 가스센서의 중요한 변수가 되었다.

3.1. 센서물질의 두께에 대한 영향

Fig. 3은 trimethylamine gas 농도를 변화시키면서 SnO_2 센서 막의 두께에 따른 감도를 나타낸 것이다. 그림에서 볼 수 있듯이 센서물질의 막 두께가 얕을수록 감도가 좋은 것을 알 수 있었으며, 본 연구에서는 막 두께가 $20 \mu\text{m}$ 일 때 가장 좋은 감도를 나타내었다. 또한 $150 \mu\text{m}$ 이나 $100 \mu\text{m}$ 는 별 차이가 없지만, $50 \mu\text{m}$ 와는 큰 차이를 나타내는 것을 알 수 있었다.

3.2. 센서물질의 온도 영향

Fig. 4는 SnO_2 에 금속 산화물의 양과 촉매금속의 종

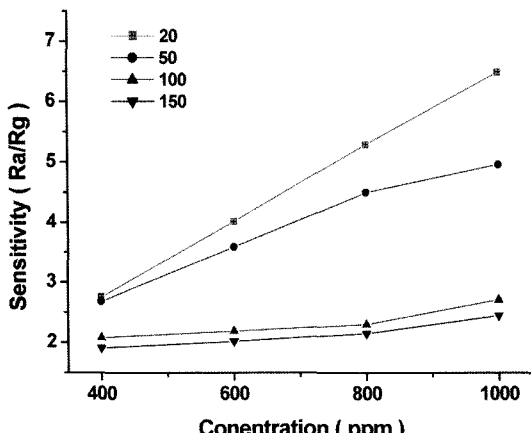


Fig. 3. Sensitivity of gas sensor with SnO_2 thick films to the various concentrations of trimethylamine gas at 250°C .

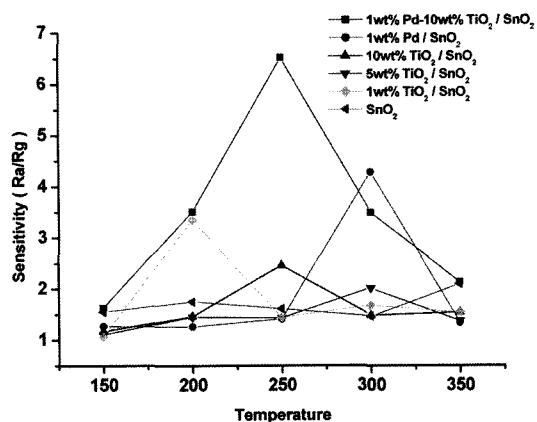


Fig. 4. Sensitivity of the gas sensor with the temperature of trimethylamine as (gas concentration : 100 ppm).

류에 따라 온도를 변화시켰을 때 감도의 변화를 나타낸 것이다. SnO_2 는 모든 농도에 대하여 250°C 에서 좋게 나타나는 반면, SnO_2 에 1 wt% TiO_2 를 첨가하면 200°C 로 온도가 낮아지는 것을 알 수 있었다. 그러나 SnO_2 에 10 wt% TiO_2 를 첨가하거나 1 wt% Pt과 10 wt% TiO_2 를 첨가하였을 경우 감도가 가장 좋은 것으로 나타났다. 이것은 금속 산화물의 양과 촉매금속의 종류에 따라 활성화 에너지가 적당한 온도에서 빠르게 변화하기 때문이다.

3.3. 금속 산화물의 양에 따른 감도

Fig. 5는 금속 산화물인 TiO_2 의 첨가량에 따른 가스 센서의 감도를 동작온도 250°C 에서 측정한 결과를 나타낸 것이다. 그림에서 SnO_2 에 TiO_2 의 첨가량이 증가

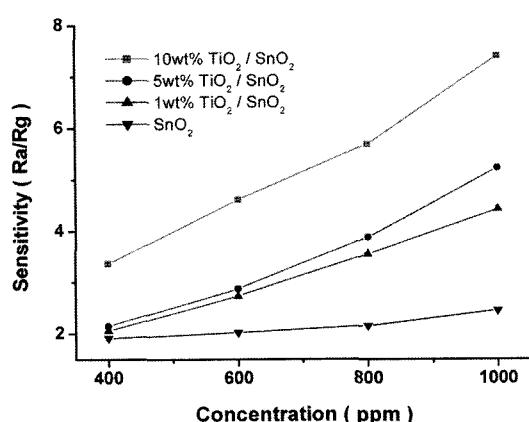


Fig. 5. Sensitivity of the gas sensor with various metal oxides to the various concentrations of trimethylamine gas for at 250°C .

할수록 감도가 증가하는 것을 알 수 있었다. SnO_2 는 가스농도에 따라 감도가 별 차이가 없는 것으로 나타났고, 1 wt% TiO_2 와 5 wt% TiO_2 를 SnO_2 에 첨가했을 때 감도는 나타나지만, 두 센서물질의 감도 차이는 근소하였다. 10 wt% TiO_2 를 SnO_2 에 첨가했을 때는 가스농도에 따라 감도가 많이 차이가 나는 것을 알 수 있었다. 이것은 10 wt% TiO_2 를 첨가했을 경우가 전기적으로 더 안정화되기 때문이다.

3.4. 가스 종류에 따른 센서물질의 선택성

Fig. 6은 SnO_2 에 TiO_2 를 첨가하는 양과 측매의 종류에 따라 trimethylamine gas, dimethylamine gas, 암모니아가스에 대한 센서물질의 감도를 250°C에서 농도에 따라 나타낸 것이다. 센서물질의 온도가 250°C일 때 trimethylamine gas의 감도가 가장 좋았기 때문에 다른 가스도 250°C일 때 측정하였다. Fig. 6에서 알 수 있듯이 1 wt% $\text{TiO}_2/\text{SnO}_2$ 의 경우 차이는 조금 밖에 나타나지 않았고, 10 wt% $\text{TiO}_2/\text{SnO}_2$ 는 1 wt% $\text{TiO}_2/\text{SnO}_2$ 보다 차이가 더 나타나지만, 측매를 첨가하였을 때보다

가스에 대한 선택성이 좋지 않은 것을 알 수 있으며, 1 wt% Pd + 10 wt% $\text{TiO}_2/\text{SnO}_2$ 일 경우 가장 선택성이 좋은 것을 알 수가 있었다. 이것은 1 wt% Pd + 10 wt% $\text{TiO}_2/\text{SnO}_2$ 일 경우가 dimethylamine gas나 암모니아가스 보다 trimethylamine gas를 잘 분해시키고, 반응을 활성화시켜 선택성을 향상시키는 것으로 생각된다.

3.5. 측매금속의 종류에 따른 영향

Fig. 7은 측매금속의 종류에 따라 측정 가스의 감도를 나타낸 것이다. 금속 산화물이 10 wt% $\text{TiO}_2/\text{SnO}_2$ 인 시스템을 기본 센서물질로 하여 여러 가지 측매금속을 첨가하였다. 그림에서 알 수 있듯이 In이나 Pt은 오히려 첨가전 보다 감도가 떨어지는 것으로 나타났다. 그러나 Pd를 첨가했을 때 감도가 다른 측매제 및 10 wt% $\text{TiO}_2/\text{SnO}_2$ 일 경우보다 더 좋은 것을 알 수 있었다. 따라서 1 wt% Pd + 10 wt% $\text{TiO}_2/\text{SnO}_2$ 의 센서물질이 환원성 가스인 trimethylamine gas를 다른 센서물질에 비해 빠른 속도로 산화시키고, 좋은 선택성을 보인다는 것을 알 수 있었다.

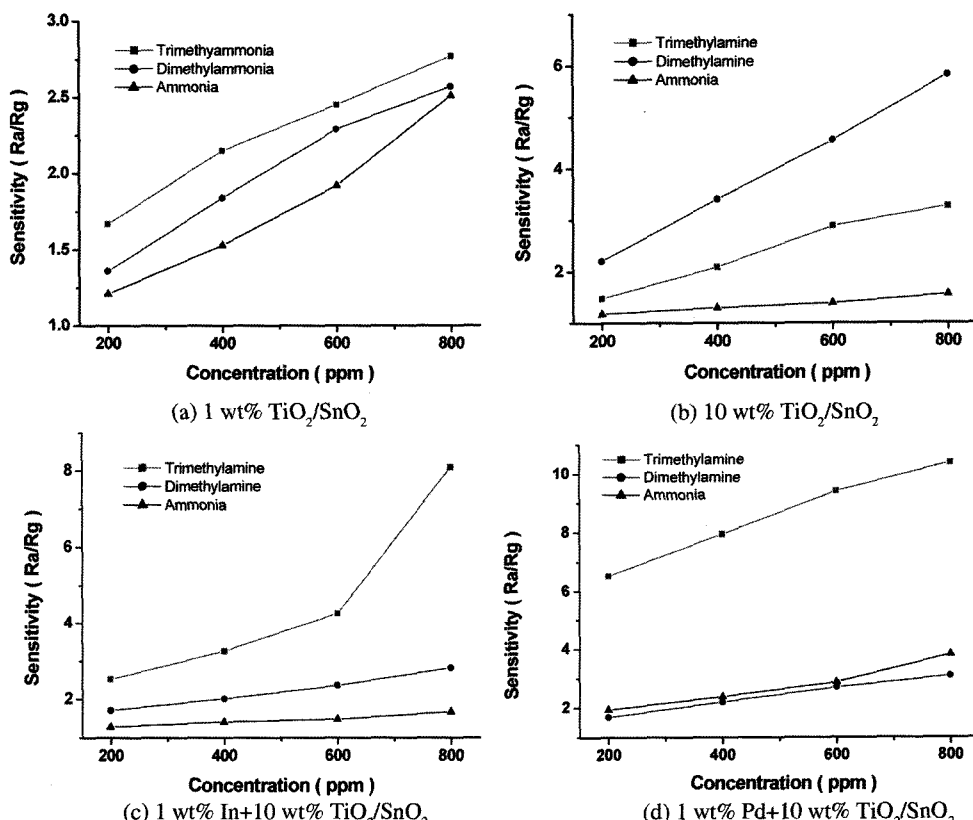


Fig. 6. Selectivity of the gas sensor to the different gas at 250°C.

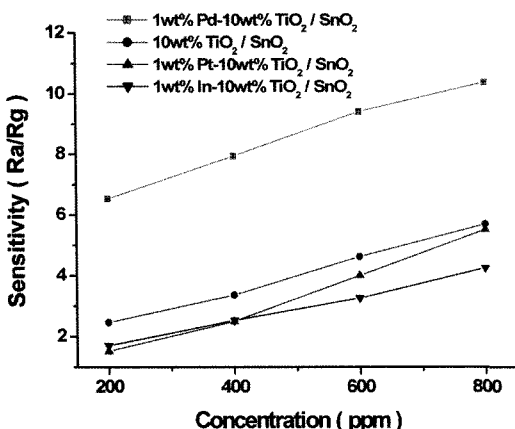


Fig. 7. Sensitivity of the gas sensor with the catalysts to the various concentrations of trimethylamine gas at 250°C.

IV. 결 론

SnO_2 에 금속 산화물인 TiO_2 를 첨가하고, 촉매금속으로 Pd, Pt 및 In을 첨가한 가스센서를 제작하여 각종 가스에 대한 감도와 선택성을 측정하였다. 그 결과, 센서 물질의 막이 얇을수록 감도가 좋았으며, TiO_2 의 첨가량이 증가할수록 감도와 선택성이 증가하였다. 가스센서의 작동온도는 250°C일 때가 가장 좋은 결과를 보였으며, 10 wt% $\text{TiO}_2/\text{SnO}_2$ 에 촉매금속인 Pd가 첨가되었을 때 Pt나 In보다 감도 및 trimethylamine gas에 대한 선택성이 더 좋은 것으로 나타났다.

따라서 본 연구에서는 1 wt% Pd + 10 wt% $\text{TiO}_2/\text{SnO}_2$ 물질계가 trimethylamine gas를 감지하는데 가장 좋은 센서시스템인 것으로 나타났다.

감사의 글

본 연구는 산업자원부 지방기술혁신사업(RTI04-03-

02) 지원으로 수행되었으며, 이에 감사드립니다.

참고문헌

- [1] Kwon, T.H., S.H. Park, J.Y. Ryu, and H.H. Choi, "Znic Oxide Thin Film doped with Al_2O_3 , TiO_2 and V_2O_5 as Sensitive Sensor for Trimethylamine Gas", *Senor and Actuators, B*, **46**, 75-79, (1998)
- [2] Arshak, K. and I. Gaidan, "Gas Sensing Properties of $\text{ZnFe}_2\text{O}_4/\text{ZnO}$ Screen-Printed Thick Films", *Senor and Actuators, B*, **111-112**, 58-62, (2005)
- [3] Wach, M.S., G.H. Jain, D.R. Patil, S.A. Patil, and L.A. Patil, "Modified Zinc Oxide Thick Film Resistors as NH_3 Gas Sensor", *Senor and Actuators, B*, **115**, 128-133, (2006)
- [4] Pengfeng Guo and Haibo Pan, "Selectivity of Ti-doped In_2O_3 Ceramics as an Ammonia", *Senor and Actuators, B*, **114**, 762-767, (2006)
- [5] Zhu, B.L., C.S. Xie, W.Y. Wang, K.J. Huang, and J.H. Hu, "Improvement in Gas Sensitivity of ZnO Thick Film to Volatile Organic Compounds(VOCs) by adding TiO_2 ", *Mareials Letters* **58**, 624-629, (2004)
- [6] 박보선, 홍광준, 김호기, 박진성, "SnO₂-ZnO계 후막 센서 구조에 따른 CO 감지 특성", *센서학회지*, **11**(3), 155-162, (2002)
- [7] 박성현, 최우창, 김성우, 류지열, 최혁환, 이명교, 권태하, "TMA 가스 선택성 향상을 위한 ZnO계 박막 센서의 제작 및 특성", *센서학회지*, **9**(1), 36-42, (2000)
- [8] 유도준, 준 타마키, 노리오 미우라, 노보루 야마조에, 박순자 "박막형 가스센서에 있어서 가스 감지 속도에 대한 막 두께의 영향", *한국재료학회지*, **6**(7), 716-722, (1996)
- [9] 민봉기, "안정한 특성을 가진 SnO₂ 가스센서의 제조 방법에 관한 연구", *박사학위논문* 영남대학교도서관 15-40 (2003)